



...eine starke Verbindung

LEISTUNGSERKLÄRUNG

DoP Nr.: MKT-2.1-600_de

- ✧ **Eindeutiger Kenncode des Produkttyps:** Injektionssystem VMH für Beton
- ✧ **Verwendungszweck(e):** Verbunddübel zur Verankerung im Beton, siehe Anhang B
- ✧ **Hersteller:** MKT Metall-Kunststoff-Technik GmbH & Co.KG
Auf dem Immel 2
67685 Weilerbach
- ✧ **System(e) zur Bewertung und Überprüfung der Leistungsbeständigkeit:** 1
- ✧ **Europäisches Bewertungsdokument:** EAD 330499-01-0601
Europäische Technische Bewertung: ETA-17/0716, 22.11.2019
Technische Bewertungsstelle: DIBt, Berlin
Notifizierte Stelle(n): NB 2873 – Technische Universität Darmstadt
- ✧ **Erklärte Leistung(en):**

Wesentliche Merkmale	Leistung
Mechanische Festigkeit und Standsicherheit (BWR 1)	
Charakteristische Widerstände unter Zugbeanspruchung (statische und quasi-statische Einwirkungen)	Anhang C1, C3, C6, C8
Charakteristische Widerstände unter Querbeanspruchung (statische und quasi-statische Einwirkungen)	Anhang C2, C4, C7, C9
Verschiebungen (statische und quasi-statische Einwirkungen)	Anhang C11 – C13
Charakteristischer Widerstand und Verschiebungen für seismische Leistungskategorie C1+C2	Anhang C5, C10, C11
Dauerhaftigkeit	Anhang B1
Hygiene, Gesundheit und Umweltschutz (BWR 3)	
Inhalt, Emission und/oder Freisetzung von gefährlichen Stoffen	Leistung nicht bewertet

Die Leistung des vorstehenden Produkts entspricht der erklärten Leistung / den erklärten Leistungen. Für die Erstellung der Leistungserklärung im Einklang mit der Verordnung (EU) Nr. 305/2011 ist allein der obengenannte Hersteller verantwortlich.

Unterzeichnet für den Hersteller und im Namen des Herstellers von:

Stefan Weustenhagen
(Geschäftsführer)
Weilerbach, 01.01.2021

i.V.
Dipl.-Ing. Detlef Bigalke
(Leiter der Produktentwicklung)



Spezifizierung des Verwendungszwecks

Injektionssystem VMH		Ankerstangen	Innengewinde- ankerstangen	Betonstahl
Statische oder quasi-statische Einwirkung		M8 - M30 verzinkt, A2, A4, HCR	VMU-IG M6 - VMU-IG M20 verzinkt ¹⁾ , A4, HCR	Ø8 - Ø32
Seismische Einwirkung	Leistungskategorie C1	M8 - M30 verzinkt ¹⁾ , A4, HCR	-	Ø8 - Ø32
	Leistungskategorie C2	M12 – M24 verzinkt ¹⁾ (Fkl. 8.8), A4, HCR (Fkl. ≥ 70)	-	-
Verankerungsgrund		verdichteter, bewehrter oder unbewehrter Normalbeton (ohne Fasern), gem. EN 206:2013		
		Festigkeitsklasse C20/25 bis C50/60, gem. EN 206:2013		
		gerissener oder ungerissener Beton		
Temperaturbereich I	-40 °C bis +80 °C	max. Langzeit-Temperatur +50 °C und max. Kurzzeit-Temperatur +80 °C		
Temperaturbereich II	-40 °C bis +120 °C	max. Langzeit-Temperatur +72 °C und max. Kurzzeit-Temperatur +120 °C		
Temperaturbereich III	-40 °C bis +160 °C	max. Langzeit-Temperatur +100 °C und max. Kurzzeit-Temperatur +160 °C		

¹⁾ Ausgenommen feuerverzinkt

Anwendungsbedingungen (Umweltbedingungen):

- Bauteile unter den Bedingungen trockener Innenräume (alle Materialien).
- Für alle anderen Bedingungen gemäß EN 1993-1-4:2006+A1:2015 entsprechend der Korrosionsbeständigkeitsklassen:
 - Nichtrostender Stahl A2 nach Anhang A4, Tabelle A1: CRC II
 - Nichtrostender Stahl A4 nach Anhang A4, Tabelle A1: CRC III
 - Hochkorrosionsbeständiger Stahl HCR nach Anhang A4, Tabelle A1: CRC V

Bemessung:

- Unter Berücksichtigung der zu verankernden Lasten sind prüfbare Berechnungen und Konstruktionszeichnungen anzufertigen. Auf den Konstruktionszeichnungen ist die Lage des Dübels angegeben (z.B. Lage des Dübels zur Bewehrung oder zu den Auflagern usw.)
- Die Bemessung der Verankerungen erfolgt unter der Verantwortung eines auf dem Gebiet der Verankerungen und des Betonbaus erfahrenen Ingenieurs
- Die Bemessung der Verankerungen erfolgt nach EN 1992-4:2018 und Technical Report TR 055

Einbau:

- Trockener oder feuchter Beton oder wassergefüllte Bohrlöcher (ausgenommen Seewasser)
- Bohrlochherstellung durch Hammer- oder Pressluft- oder Saugbohren
- Überkopfmontage erlaubt
- Einbau durch entsprechend geschultes Personal unter Verantwortung des Bauleiters
- Innengewindeankerstangen: Schrauben und Gewindestange (inkl. Mutter und Unterlegscheibe) müssen mindestens dem Material und der Festigkeitsklasse der verwendeten Innengewindeankerstange entsprechen

Injektionssystem VMH für Beton

Verwendungszweck
Spezifikationen

Anhang B1

Tabelle B1: Montage- und Dübelkennwerte, Ankerstangen

Ankerstange			M8	M10	M12	M16	M20	M24	M27	M30	
Durchmesser Ankerstange	$d=d_{nom}$	[mm]	8	10	12	16	20	24	27	30	
Bohrernenndurchmesser	d_0	[mm]	10	12	14	18	22	28	30	35	
Effektive Verankerungstiefe	$h_{ef,min}$	[mm]	60	60	70	80	90	96	108	120	
	$h_{ef,max}$	[mm]	160	200	240	320	400	480	540	600	
Durchgangsloch im anzuschließenden Bauteil ²⁾	Vorsteckmontage	$d_f \leq$	[mm]	9	12	14	18	22	26	30	33
	Durchsteckmontage	$d_f \leq$	[mm]	12	14	16	20	24	30	33	40
Montagedrehmoment	$T_{inst} \leq$	[Nm]	10	20	40 (35) ¹⁾	60	100	170	250	300	
Mindestbauteildicke	h_{min}	[mm]	$h_{ef} + 30 \text{ mm}$ $\geq 100 \text{ mm}$			$h_{ef} + 2d_0$					
minimaler Achsabstand	s_{min}	[mm]	40	50	60	75	95	115	125	140	
minimaler Randabstand	c_{min}	[mm]	35	40	45	50	60	65	75	80	

¹⁾ Drehmoment für M12 mit Festigkeitsklasse 4.6

²⁾ Für Anwendungen unter seismischer Einwirkung darf das Durchgangsloch im Anbauteil max. $d_{nom}+1\text{mm}$ betragen oder alternativ ist der Ringspalt zwischen Gewindestange und Anbauteil mit Mörtel kraftschlüssig zu verfüllen

Tabelle B2: Montage- und Dübelkennwerte, Innengewindeankerstangen

Innengewindeankerstange			IG-M 6	IG-M 8	IG-M 10	IG-M 12	IG-M 16	IG-M 20
Innendurchmesser	d_2	[mm]	6	8	10	12	16	20
Außendurchmesser ¹⁾	$d=d_{nom}$	[mm]	10	12	16	20	24	30
Bohrernenndurchmesser	d_0	[mm]	12	14	18	22	28	35
Effektive Verankerungstiefe	$h_{ef,min}$	[mm]	60	70	80	90	96	120
	$h_{ef,max}$	[mm]	200	240	320	400	480	600
Durchgangsloch im anzuschließenden Bauteil	$d_f \leq$	[mm]	7	9	12	14	18	22
Montagedrehmoment	$T_{inst} \leq$	[Nm]	10	10	20	40	60	100
Min. Einschraubtiefe	l_{IG}	[mm]	8	8	10	12	16	20
Mindestbauteildicke	h_{min}	[mm]	$h_{ef} + 30 \text{ mm}$ $\geq 100 \text{ mm}$			$h_{ef} + 2d_0$		
minimaler Achsabstand	s_{min}	[mm]	50	60	75	95	115	140
minimaler Randabstand	c_{min}	[mm]	40	45	50	60	65	80

¹⁾ Mit metrischem Gewinde gemäß EN 1993-1-8:2005+AC:2009

Tabelle B3: Montagekennwerte Betonstahl

Betonstahl			Ø 8	Ø 10	Ø 12	Ø 14	Ø 16	Ø 20	Ø 24	Ø 25	Ø 28	Ø 32
Durchmesser Betonstahl	$d=d_{nom}$	[mm]	8	10	12	14	16	20	24	25	28	32
Bohrernenndurchmesser ¹⁾	d_0	[mm]	10 12	12 14	14 16	18	20	25	32	32	35	40
Effektive Verankerungstiefe	$h_{ef,min}$	[mm]	60	60	70	75	80	90	96	100	112	128
	$h_{ef,max}$	[mm]	160	200	240	280	320	400	480	500	560	640
Mindestbauteildicke	h_{min}	[mm]	$h_{ef} + 30 \text{ mm}$ $\geq 100 \text{ mm}$				$h_{ef} + 2d_0$					
minimaler Achsabstand	s_{min}	[mm]	40	50	60	70	75	95	120	120	130	150
minimaler Randabstand	c_{min}	[mm]	35	40	45	50	50	60	70	70	75	85

¹⁾ Für Ø8, Ø10 und Ø12 können beide Bohrernenndurchmesser verwendet werden

Injektionssystem VMH für Beton

Verwendungszweck
Montagekennwerte

Anhang B2

Tabelle B4: Parameter für Reinigungs- und Setzzubehör







Ankerstange	Innengewinde- ankerstange	Betonstahl	Bohrer Ø	Bürsten Ø	min. BürstenØ
					
[-]	[-]	Ø [mm]	d ₀ [mm]	d _b [mm]	d _{b,min} [mm]
M8		8	10	11,5	10,5
M10	VMU-IG M6	8 / 10	12	13,5	12,5
M12	VMU-IG M8	10 / 12	14	15,5	14,5
		12	16	17,5	16,5
M16	VMU-IG M10	14	18	20,0	18,5
		16	20	22,0	20,5
M20	VMU-IG M12		22	24,0	22,5
		20	25	27,0	25,5
M24	VMU-IG M16		28	30,0	28,5
M27			30	31,8	30,5
		24 / 25	32	34,0	32,5
M30	VMU-IG M20	28	35	37,0	35,5
		32	40	43,5	40,5

Tabelle B5: Injektionsadapter

Bohrer Ø		Einbaurichtung und Verwendung		
d ₀ [mm]	[-]	↓	→	↑
10	Kein Injektionsadapter erforderlich			
12				
14				
16				
18	VM-IA 18	h _{ef} > 250mm	h _{ef} > 250mm	alle
20	VM-IA 20			
22	VM-IA 22			
25	VM-IA 25			
28	VM-IA 28			
30	VM-IA 30			
32	VM-IA 32			
35	VM-IA 35			
40	VM-IA 40			



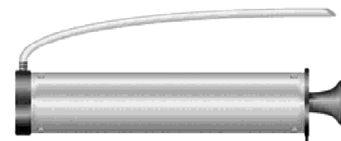
Saugbohrer

Bohrernennendurchmesser (d₀): alle Durchmesser
Saugbohrer (MKT Saugbohrer SB, Würth Saugbohrer oder Heller Duster Expert Saugbohrer) und einem Klasse M Staubsauger mit einem Unterdruck von mind. 253 hPa und einer Durchflussrate von mind. 42 l/s



Empfohlene Druckluftpistole (min 6 bar)

Bohrernennendurchmesser (d₀):
alle Durchmesser



Ausblaspumpe (Volumen 750ml)

Bohrerdurchmesser (d₀): 10 mm bis 20 mm
Bohrlochtiefe (h₀): ≤ 10 d_{nom}
für ungerissenen Beton

Injektionssystem VMH für Beton

Verwendungszweck
Reinigungs- und Installationszubehör

Anhang B3

Montageanweisung

Bohrlocherstellung

1	1a		Hammerbohren oder Druckluftbohren Bohrloch dreh Schlagend mit vorgeschriebenem Bohrer Durchmesser (Tabelle B1, B2 oder B3) und gewählter Bohrlochtiefe erstellen. Weiter mit <u>Schritt 2.</u> Bei Fehlbohrungen ist das Bohrloch zu vermörteln.
	1b		Saugbohren: siehe Anhang B3 Bohrloch dreh Schlagend mit vorgeschriebenem Bohrer Durchmesser (Tabelle B1, B2 oder B3) und gewählter Bohrlochtiefe erstellen. Dieses Bohrverfahren entfernt den Staub und reinigt das Bohrloch während des Bohrens. Weiter bei <u>Schritt 3.</u> Bei Fehlbohrungen ist das Bohrloch zu vermörteln.

Reinigung (entfällt bei Verwendung eines Saugbohrers)

Achtung! Vor der Reinigung des Bohrlochs stehendes Wasser entfernen!

Reinigung mit Druckluft

alle Untergründe und Abmessungen nach Anhang B1

2	2a		Das Bohrloch vom Bohrlochgrund her mind. 2x vollständig mit Druckluft (min. 6 bar) ausblasen bis die ausströmende Luft staubfrei ist. Wird der Bohrlochgrund nicht erreicht, ist eine Verlängerung zu verwenden.
	2b		Bohrloch mit geeigneter Drahtbürste gem. Tabelle B4 (minimaler Bürstendurchmesser $d_{b,min}$ ist einzuhalten) mind. 2x ausbürsten. Erreicht die Bürste den Bohrlochgrund nicht, ist eine geeignete Bürstenverlängerung zu verwenden.
	2c		Das Bohrloch vom Bohrlochgrund her erneut mind. 2x vollständig mit Druckluft (min. 6 bar) ausblasen bis die ausströmende Luft staubfrei ist. Wird der Bohrlochgrund nicht erreicht, ist eine Verlängerung zu verwenden.

Manuelle Reinigung

ungerissener Beton, trocken oder feucht; Bohrer Durchmesser $d_0 \leq 20\text{mm}$ und Bohrlochtiefe $h_0 \leq 10 d_{nom}$

2	2a		Das Bohrloch vom Bohrlochgrund her mit der Ausblaspumpe mind. 4x vollständig ausblasen.
	2b		Bohrloch mit geeigneter Drahtbürste gem. Tabelle B4 (minimaler Bürstendurchmesser $d_{b,min}$ ist einzuhalten) mind. 4x ausbürsten. Erreicht die Bürste den Bohrlochgrund nicht, ist eine geeignete Bürstenverlängerung zu verwenden.
	2c		Das Bohrloch vom Bohrlochgrund her erneut mit der Ausblaspumpe mind. 4x vollständig ausblasen.

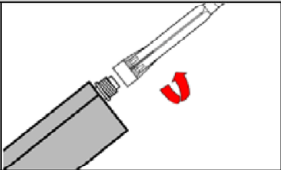
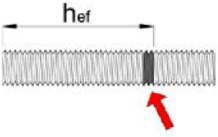

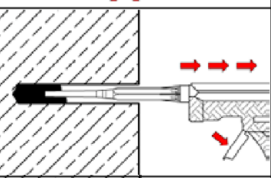
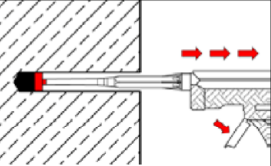
Nach der Reinigung ist das Bohrloch bis zum Injizieren des Mörtels vor erneutem Verschmutzen in geeigneter Weise zu schützen. Gegebenenfalls ist die Reinigung unmittelbar vor dem Injizieren des Mörtels zu wiederholen. Einfließendes Wasser darf nicht zur erneuten Verschmutzung des Bohrlochs führen.

Injektionssystem VMH für Beton

Verwendungszweck
Montageanweisung

Anhang B4

Montageanweisung (Fortsetzung)

Injektion		
3		Den mitgelieferten Statikmischer fest auf die Kartusche aufschrauben und Kartusche in eine geeignete Auspresspistole einlegen. Bei jeder Arbeitsunterbrechung länger als die empfohlene Verarbeitungszeit (Tabelle B6) und bei jeder neuen Kartusche ist der Statikmischer zu erneuern.
4		Vor dem Injizieren des Mörtels die geforderte Verankerungstiefe auf der Ankerstange markieren.
5		Der Mörtelvorlauf ist nicht zur Befestigung der Ankerstange geeignet. Daher Vorlauf solange verwerfen, bis sich eine gleichmäßig graue Mischfarbe eingestellt hat, jedoch min. 3 volle Hübe.
6a		Gereinigtes Bohrloch vom Bohrlochgrund her ca. zu 2/3 mit Verbundmörtel befüllen. Langsames Zurückziehen des Statikmischers aus dem Bohrloch verhindert die Bildung von Lufteinschlüssen. Wird der Bohrlochgrund nicht erreicht, ist eine passende Mischerverlängerung zu verwenden. Die Verarbeitungszeiten gemäß Tabelle B6 sind zu beachten.
6b		Injektionsadapter mit Mischerverlängerungen sind für folgende Verankerungen zu verwenden (vergl. Tabelle B5) : <ul style="list-style-type: none"> • Installationen horizontal oder vertikal nach unten mit Bohrer-\varnothing $d_0 \geq 18$ mm und Verankerungstiefen $h_{ef} > 250$ mm • Überkopfmontage: Bohrer-\varnothing $d_0 \geq 18$ mm

Injektionssystem VMH für Beton

Verwendungszweck
Montageanweisung (Fortsetzung)

Anhang B5

Montageanweisung (Fortsetzung)

Setzen des Befestigungselementes

7		<p>Befestigungselement mit leichten Drehbewegungen bis zur festgelegten Verankerungstiefe einsetzen.</p> <p>Die Ankerstange muss schmutz-, fett- und ölfrei sein.</p>
8		<p>Nach der Installation muss der Ringspalt zwischen Ankerstange und Beton, bei Durchsteckmontage zusätzlich auch im Anbauteil, komplett mit Mörtel verfüllt sein. Wird bei Erreichen der Verankerungstiefe kein Mörtel an der Oberfläche sichtbar, Anwendung vor Beendigung der Verarbeitungszeit wiederholen!</p> <p>Bei Überkopfmontage ist die Ankerstange zu fixieren (z.B. mit Holzkeilen).</p>
9		<p>Die angegebene Aushärtezeit muss eingehalten werden. Befestigungselement während der Aushärtezeit (siehe Tabelle B6) nicht bewegen oder belasten.</p>
10		<p>Ausgetretenen Mörtel entfernen.</p>
11		<p>Nach vollständiger Aushärtung kann das Anbauteil mit dem zulässigen Drehmoment T_{inst} nach Tabelle B1 oder B2 montiert werden.</p>
12		<p>Bei der Vorsteckmontage kann optional der Ringspalt zwischen Ankerstange und Anbauteil mit Mörtel verfüllt werden.</p> <p>Dafür Unterlegscheibe durch Verfüllscheibe ersetzen und Mischerreduzierung auf den Statikmischer stecken.</p> <p>Ringspalt ist vollständig verfüllt, wenn Mörtel austritt.</p>

Tabelle B6: Verarbeitungs- und Aushärtezeiten

Beton Temperatur	Verarbeitungszeit	Mindest-Aushärtezeit	
		trockener Beton	feuchter Beton
-5°C bis -1°C	50 min	5 h	10 h
0°C bis +4°C	25 min	3,5 h	7 h
+5°C bis +9°C	15 min	2 h	4 h
+10°C bis +14°C	10 min	1 h	2 h
+15°C bis +19°C	6 min	40 min	80 min
+20°C bis +29°C	3 min	30 min	60 min
+30°C bis +40°C	2 min	30 min	60 min
Kartuschentemperatur	+ 5°C bis + 40°C		

Injektionssystem VMH für Beton

Verwendungszweck
 Montageanweisung (Fortsetzung)
 Verarbeitungs- und Aushärtezeiten

Anhang B6

Tabelle C1: Charakteristische Stahltragfähigkeit für Ankerstangen unter Zugbeanspruchung

Ankerstange				M8	M10	M12	M16	M20	M24	M27	M30
Stahlversagen											
Spannungsquerschnitt		A_s	[mm ²]	36,6	58,0	84,3	157	245	353	459	561
Charakteristische Widerstände unter Zugbeanspruchung¹⁾											
Stahl, verzinkt	Festigkeitsklasse 4.6 und 4.8	$N_{Rk,s}$	[kN]	15 (13)	23 (21)	34	63	98	141	184	224
	Festigkeitsklasse 5.6 und 5.8	$N_{Rk,s}$	[kN]	18 (17)	29 (27)	42	78	122	176	230	280
	Festigkeitsklasse 8.8	$N_{Rk,s}$	[kN]	29 (27)	46 (43)	67	125	196	282	368	449
Nichtrostender Stahl	A2, A4 und HCR Festigkeitsklasse 50	$N_{Rk,s}$	[kN]	18	29	42	79	123	177	230	281
	A2, A4 und HCR Festigkeitsklasse 70	$N_{Rk,s}$	[kN]	26	41	59	110	171	247	-	-
	A4 und HCR Festigkeitsklasse 80	$N_{Rk,s}$	[kN]	29	46	67	126	196	282	-	-
Teilsicherheitsbeiwerte²⁾											
Stahl, verzinkt	Festigkeitsklasse 4.6	$\gamma_{Ms,N}$	[-]	2,0							
	Festigkeitsklasse 4.8	$\gamma_{Ms,N}$	[-]	1,5							
	Festigkeitsklasse 5.6	$\gamma_{Ms,N}$	[-]	2,0							
	Festigkeitsklasse 5.8	$\gamma_{Ms,N}$	[-]	1,5							
	Festigkeitsklasse 8.8	$\gamma_{Ms,N}$	[-]	1,5							
Nichtrostender Stahl	A2, A4 und HCR Festigkeitsklasse 50	$\gamma_{Ms,N}$	[-]	2,86							
	A2, A4 und HCR Festigkeitsklasse 70	$\gamma_{Ms,N}$	[-]	1,87						-	-
	A4 und HCR Festigkeitsklasse 80	$\gamma_{Ms,N}$	[-]	1,6						-	-

¹⁾ Die charakteristischen Widerstände gelten für alle Ankerstangen mit dem hier angegebenen Spannungsquerschnitt A_s : VMU-A, V-A, VM-A
Für handelsübliche Gewindestangen mit geringerem Spannungsquerschnitt (z.B.: feuerverzinkte Gewindestangen M8, M10 gemäß EN ISO 10684:2004 + AC:2009) gelten die Werte in Klammern.

²⁾ Sofern andere nationale Regelungen fehlen

Injektionssystem VMH für Beton

Leistungen

Charakteristische Stahltragfähigkeit für **Ankerstangen** unter **Zugbeanspruchung**

Anhang C1

Tabelle C2: Charakteristische Stahltragfähigkeit für Ankerstangen unter Querbeanspruchung

Ankerstange			M8	M10	M12	M16	M20	M24	M27	M30	
Stahlversagen											
Spannungsquerschnitt			A _s [mm ²]	36,6	58,0	84,3	157	245	353	459	561
Charakteristische Widerstände unter Querbeanspruchung¹⁾											
Stahlversagen ohne Hebelarm											
Stahl, verzinkt	Festigkeitsklasse 4.6 und 4.8	V ⁰ _{Rk,s} [kN]	9 (8)	14 (13)	20	38	59	85	110	135	
	Festigkeitsklasse 5.6 und 5.8	V ⁰ _{Rk,s} [kN]	11 (10)	17 (16)	25	47	74	106	138	168	
	Festigkeitsklasse 8.8	V ⁰ _{Rk,s} [kN]	15 (13)	23 (21)	34	63	98	141	184	224	
Nichtrostender Stahl	A2, A4 und HCR, Festigkeitsklasse 50	V ⁰ _{Rk,s} [kN]	9	15	21	39	61	88	115	140	
	A2, A4 und HCR, Festigkeitsklasse 70	V ⁰ _{Rk,s} [kN]	13	20	30	55	86	124	-	-	
	A4 und HCR, Festigkeitsklasse 80	V ⁰ _{Rk,s} [kN]	15	23	34	63	98	141	-	-	
Stahlversagen mit Hebelarm											
Stahl, verzinkt	Festigkeitsklasse 4.6 und 4.8	M ⁰ _{Rk,s} [Nm]	15 (13)	30 (27)	52	133	260	449	666	900	
	Festigkeitsklasse 5.6 und 5.8	M ⁰ _{Rk,s} [Nm]	19 (16)	37 (33)	65	166	324	560	833	1123	
	Festigkeitsklasse 8.8	M ⁰ _{Rk,s} [Nm]	30 (26)	60 (53)	105	266	519	896	1333	1797	
Nichtrostender Stahl	A2, A4 und HCR, Festigkeitsklasse 50	M ⁰ _{Rk,s} [Nm]	19	37	66	167	325	561	832	1125	
	A2, A4 und HCR, Festigkeitsklasse 70	M ⁰ _{Rk,s} [Nm]	26	52	92	232	454	784	-	-	
	A4 und HCR, Festigkeitsklasse 80	M ⁰ _{Rk,s} [Nm]	30	59	105	266	519	896	-	-	
Teilsicherheitsbeiwerte²⁾											
Stahl, verzinkt	Festigkeitsklasse 4.6	γ _{Ms,V} [-]	1,67								
	Festigkeitsklasse 4.8	γ _{Ms,V} [-]	1,25								
	Festigkeitsklasse 5.6	γ _{Ms,V} [-]	1,67								
	Festigkeitsklasse 5.8	γ _{Ms,V} [-]	1,25								
	Festigkeitsklasse 8.8	γ _{Ms,V} [-]	1,25								
Nichtrostender Stahl	A2, A4 und HCR, Festigkeitsklasse 50	γ _{Ms,V} [-]	2,38								
	A2, A4 und HCR, Festigkeitsklasse 70	γ _{Ms,V} [-]	1,56						-	-	
	A4 und HCR, Festigkeitsklasse 80	γ _{Ms,V} [-]	1,33						-	-	

¹⁾ Die charakteristischen Widerstände gelten für alle Ankerstangen mit dem hier angegebenen Spannungsquerschnitt A_s: VMU-A, V-A, VM-A Für handelsübliche Gewindestangen mit geringerem Spannungsquerschnitt (z.B.: feuerverzinkte Gewindestangen M8, M10 gemäß EN ISO 10684:2004 + AC:2009) gelten die Werte in Klammern

²⁾ Sofern andere nationale Regelungen fehlen

Injektionssystem VMH für Beton

Leistungen

Charakteristische Stahltragfähigkeit für **Ankerstangen** unter **Querbeanspruchung**

Anhang C2

Tabelle C3: Charakteristische Werte der Zugtragfähigkeit für Ankerstangen
unter statischer oder quasi-statischer Belastung

Ankerstangen			M8	M10	M12	M16	M20	M24	M27	M30	
Stahlversagen											
Charakteristischer Widerstand	$N_{Rk,s}$	[kN]	$A_s \cdot f_{uk}$ oder siehe Tabelle C1								
Teilsicherheitsbeiwert	$\gamma_{Ms,N}$	[-]	siehe Tabelle C1								
Kombiniertes Versagen durch Herausziehen und Betonausbruch											
Charakteristische Verbundtragfähigkeit im ungerissenen Beton C20/25											
Temperaturbereich I:	80°C / 50°C	$\tau_{Rk,ucr}$	[N/mm ²]	17	17	16	15	14	13	13	13
Temperaturbereich II:	120°C / 72°C	$\tau_{Rk,ucr}$	[N/mm ²]	15	14	14	13	12	12	11	11
Temperaturbereich III:	160°C / 100°C	$\tau_{Rk,ucr}$	[N/mm ²]	12	11	11	10	9,5	9,0	9,0	9,0
Charakteristische Verbundtragfähigkeit im gerissenen Beton C20/25											
Temperaturbereich I:	80°C / 50°C	$\tau_{Rk,cr}$	[N/mm ²]	7,0	7,5	8,0	9,0	8,5	7,0	7,0	7,0
Temperaturbereich II:	120°C / 72°C	$\tau_{Rk,cr}$	[N/mm ²]	6,0	6,5	7,0	7,5	7,0	6,0	6,0	6,0
Temperaturbereich III:	160°C / 100°C	$\tau_{Rk,cr}$	[N/mm ²]	5,5	5,5	6,0	6,5	6,0	5,5	5,5	5,5
Reduktionsfaktor ψ_{sus}^0 im Beton C20/25											
Temperaturbereich I:	80°C / 50°C	ψ_{sus}^0	[-]	0,79							
Temperaturbereich II:	120°C / 72°C	ψ_{sus}^0	[-]	0,75							
Temperaturbereich III:	160°C / 100°C	ψ_{sus}^0	[-]	0,66							
Erhöhungsfaktor für Beton	ψ_c	C25/30		1,02							
		C30/37		1,04							
		C35/45		1,07							
		C40/50		1,08							
		C45/55		1,09							
		C50/60		1,10							
Betonausbruch											
Faktor k_1	ungerissener Beton	$k_{ucr,N}$	[-]	11,0							
	gerissener Beton	$k_{cr,N}$	[-]	7,7							
Spalten											
Randabstand	$h/h_{ef} \geq 2,0$	$c_{cr,sp}$	[mm]	1,0 h_{ef}							
	$2,0 > h/h_{ef} > 1,3$			$2 \cdot h_{ef} (2,5 - h / h_{ef})$							
	$h/h_{ef} \leq 1,3$			2,4 h_{ef}							
Achsabstand		$s_{cr,sp}$	[mm]	2 $c_{cr,sp}$							
Montagebeiwert											
trockener oder feuchter Beton	Saugbohren	γ_{inst}	[-]	1,2							
	Manuelle Reinigung	γ_{inst}	[-]	1,2				NPA			
		γ_{inst}	[-]	1,0							
wassergefülltes Bohrloch	Druckluftreinigung	γ_{inst}	[-]	1,4							

Injektionssystem VMH für Beton

Leistungen
Charakteristische Werte der Zugtragfähigkeit für Ankerstangen

Anhang C3

Tabelle C4: Charakteristische Werte der **Quertragfähigkeit** für **Ankerstangen**
unter statischer oder quasi-statischer Belastung

Ankerstangen			M8	M10	M12	M16	M20	M24	M27	M30	
Stahlversagen ohne Hebelarm											
Charakteristischer Widerstand Stahl verzinkt, Fkl 4.6, 4.8, 5.6 und 5.8	$V_{RK,s}^0$	[kN]	0,6 · A_s · f_{uk} oder siehe Tabelle C2								
Charakteristischer Widerstand Stahl verzinkt, Fkl. 8.8 Nichtrostender Stahl A2, A4 und HCR	$V_{RK,s}^0$	[kN]	0,5 · A_s · f_{uk} oder siehe Tabelle C2								
Duktilitätsfaktor	k_7	[-]	1,0								
Teilsicherheitsbeiwert	$\gamma_{Ms,V}$	[-]	siehe Tabelle C2								
Stahlversagen mit Hebelarm											
Charakteristischer Biege­widerstand	$M_{RK,s}^0$	[Nm]	1,2 · W_{el} · f_{uk} oder siehe Tabelle C2								
Elastisches Widerstandsmoment	W_{el}	[mm ³]	31	62	109	277	541	935	1387	1874	
Teilsicherheitsbeiwert	$\gamma_{Ms,V}$	[-]	siehe Tabelle C2								
Betonausbruch auf der lastabgewandten Seite											
Pry-out Faktor	k_8	[-]	2,0								
Betonkantenbruch											
Effektive Ankerlänge	l_f	[mm]	min (h_{ef} ; 12 d_{nom})							min (h_{ef} ; 300mm)	
Außendurchmesser der Ankerstange	d_{nom}	[mm]	8	10	12	16	20	24	27	30	
Montagebeiwert	γ_{inst}	[-]	1,0								

Injektionssystem VMH für Beton

Leistungen
Charakteristische Werte der **Quertragfähigkeit** für **Ankerstangen**

Anhang C4

Tabelle C5: Charakteristische Werte der Zugtragfähigkeit für Ankerstangen
unter **seismischer Belastung**, Leistungskategorie **C1 + C2**¹⁾

Ankerstangen			M8	M10	M12	M16	M20	M24	M27	M30
Stahlversagen										
Charakteristischer Widerstand	$N_{Rk,s,eq,C1}$	[kN]	$1,0 \cdot N_{Rk,s}$							
	$N_{Rk,s,eq,C2}$	[kN]	NPA				$1,0 \cdot N_{Rk,s}$			NPA
Teilsicherheitsbeiwert	$\gamma_{Ms,N}$	[-]	siehe Tabelle C1							
Kombiniertes Versagen durch Herausziehen und Betonausbruch										
Charakteristische Verbundtragfähigkeit										
Temperaturbereich	I: 80°C / 50°C	$\tau_{Rk,eq,C1}$ [N/mm ²]	7,0	7,5	8,0	9,0	8,5	7,0	7,0	7,0
		$\tau_{Rk,eq,C2}$ [N/mm ²]	NPA		3,6	3,5	3,3	2,3	NPA	
	II: 120°C / 72°C	$\tau_{Rk,eq,C1}$ [N/mm ²]	6,0	6,5	7,0	7,5	7,0	6,0	6,0	6,0
		$\tau_{Rk,eq,C2}$ [N/mm ²]	NPA		3,1	3,0	2,8	2,0	NPA	
	III: 160°C / 100°C	$\tau_{Rk,eq,C1}$ [N/mm ²]	5,5	5,5	6,0	6,5	6,0	5,5	5,5	5,5
		$\tau_{Rk,eq,C2}$ [N/mm ²]	NPA		2,5	2,7	2,5	1,8	NPA	
Montagebeiwert										
Druckluftreinigung	trockener oder feuchter Beton	γ_{inst}	[-]	1,0						
	wassergefülltes Bohrloch			1,4						
Saugbohren	trockener oder feuchter Beton	γ_{inst}	[-]	1,2						

¹⁾ Werkstoffe und Festigkeitsklassen nach Anhang B1

Tabelle C6: Charakteristische Werte der Quertragfähigkeit für Ankerstangen
unter **seismischer Belastung**, Leistungskategorie **C1 + C2**¹⁾

Ankerstangen			M8	M10	M12	M16	M20	M24	M27	M30
Stahlversagen ohne Hebelarm										
Charakteristischer Widerstand	$V_{Rk,s,eq,C1}$	[kN]	$0,7 \cdot V_{Rk,s}^0$							
	$V_{Rk,s,eq,C2}$	[kN]	NPA				$0,7 \cdot V_{Rk,s}^0$			NPA
Teilsicherheitsbeiwert	$\gamma_{Ms,V}$	[-]	siehe Tabelle C2							
Stahlversagen mit Hebelarm										
Charakteristischer Biege­widerstand	$M_{Rk,s,eq}^0$	[Nm]	Leistung nicht bewertet (NPA)							
Montagebeiwert	γ_{inst}	[-]	1,0							
Faktor für Befestigungen	ohne Ringspalt	α_{gap}	[-]	1,0						
	mit Lochspiel zwischen Ankerstange und Anbauteil			0,5						

¹⁾ Werkstoffe und Festigkeitsklassen nach Anhang B1

Injektionssystem VMH für Beton	Anhang C5
Leistungen Charakteristische Werte unter seismischer Belastung für Ankerstangen	

Tabelle C7: Charakteristische Werte der Zugtragfähigkeit für Innengewindeankerstangen unter statischer oder quasi-statischer Belastung

Innengewindeankerstange				VMU-IG M 6	VMU-IG M 8	VMU-IG M 10	VMU-IG M 12	VMU-IG M 16	VMU-IG M 20
Stahlversagen ¹⁾									
Charakteristischer Widerstand Stahl, verzinkt	Fkl 5.8	$N_{Rk,s}$	[kN]	10	17	29	42	76	123
	Fkl 8.8	$N_{Rk,s}$	[kN]	16	27	46	67	121	196
Teilsicherheitsbeiwert		$\gamma_{Ms,N}$	[-]	1,5					
Charakteristischer Widerstand Nichtrostender Stahl A4 / HCR	Fkl. 70	$N_{Rk,s}$	[kN]	14	26	41	59	110	124 ²⁾
	Teilsicherheitsbeiwert		$\gamma_{Ms,N}$	[-]	1,87				
Kombiniertes Versagen durch Herausziehen und Betonausbruch									
Charakteristische Verbundtragfähigkeit im ungerissenen Beton C20/25									
Temperaturbereich	I: 80°C / 50°C	$\tau_{Rk,ucr}$	[N/mm ²]	17	16	15	14	13	13
	II: 120°C / 72°C	$\tau_{Rk,ucr}$	[N/mm ²]	14	14	13	12	12	11
	III: 160°C / 100°C	$\tau_{Rk,ucr}$	[N/mm ²]	11	11	10	9,5	9,0	9,0
Charakteristische Verbundtragfähigkeit im gerissenen Beton C20/25									
Temperaturbereich	I: 80°C / 50°C	$\tau_{Rk,cr}$	[N/mm ²]	7,5	8,0	9,0	8,5	7,0	7,0
	II: 120°C / 72°C	$\tau_{Rk,cr}$	[N/mm ²]	6,5	7,0	7,5	7,0	6,0	6,0
	III: 160°C / 100°C	$\tau_{Rk,cr}$	[N/mm ²]	5,5	6,0	6,5	6,0	5,5	5,5
Reduktionsfaktor ψ^0_{sus} im Beton C20/25									
Temperaturbereich	I: 80°C / 50°C	ψ^0_{sus}	[-]	0,79					
	II: 120°C / 72°C	ψ^0_{sus}	[-]	0,75					
	III: 160°C / 100°C	ψ^0_{sus}	[-]	0,66					
Erhöhungsfaktor für Beton		ψ_c	C25/30	1,02					
			C30/37	1,04					
			C35/45	1,07					
			C40/50	1,08					
			C45/55	1,09					
			C50/60	1,10					
Betonausbruch									
Faktor k_1	ungerissener Beton	$k_{ucr,N}$	[-]	11,0					
	gerissener Beton	$k_{cr,N}$	[-]	7,7					
Spalten									
Randabstand	$h/h_{ef} \geq 2,0$	$c_{cr,sp}$	[mm]	1,0 h_{ef}					
	$2,0 > h/h_{ef} > 1,3$			$2 \cdot h_{ef} (2,5 - h / h_{ef})$					
	$h/h_{ef} \leq 1,3$			2,4 h_{ef}					
Achsabstand		$s_{cr,sp}$	[mm]	2 $c_{cr,sp}$					
Montagebeiwert									
trockener oder feuchter Beton	Saugbohren	γ_{inst}	[-]	1,2					
	Manuelle Reinigung	γ_{inst}	[-]	1,2					
		γ_{inst}	[-]	1,0					
wassergefülltes Bohrloch	Druckluftreinigung	γ_{inst}	[-]	1,4					

¹⁾ Befestigungsschrauben oder Gewindestangen (inkl. Scheibe und Mutter) müssen mindestens der gewählten Festigkeitsklasse der Innengewindeankerstangen entsprechen. Die charakteristischen Tragfähigkeiten für Stahlversagen gelten für die Innengewindeankerstange und die zugehörigen Befestigungsmittel

²⁾ Für VMU-IG M20: Festigkeitsklasse 50

Injektionssystem VMH für Beton

Leistungen

Charakteristische Werte der Zugtragfähigkeit für Innengewindeankerstangen

Anhang C6

Tabelle C8: Charakteristische Werte unter Querbeanspruchung für Innengewindeankerstangen unter statischer oder quasi-statischer Belastung

Innengewindeankerstange				VMU-IG M 6	VMU-IG M 8	VMU-IG M 10	VMU-IG M 12	VMU-IG M 16	VMU-IG M 20		
Stahlversagen ohne Hebelarm¹⁾											
Stahl, verzinkt	Charakteristischer Widerstand	Fkl. 5.8	$V^0_{Rk,s}$	[kN]	5	9	15	21	38	61	
	Charakteristischer Widerstand	Fkl. 8.8	$V^0_{Rk,s}$	[kN]	8	14	23	34	60	98	
	Teilsicherheitsbeiwert		$\gamma_{Ms,V}$	[-]	1,25						
Nicht-rostender Stahl	Charakteristischer Widerstand, A4 / HCR	Fkl. 70	$V^0_{Rk,s}$	[kN]	7	13	20	30	55	62 ²⁾	
	Teilsicherheitsbeiwert		$\gamma_{Ms,V}$	[-]	1,56					2,38	
Duktilitätsfaktor				k_7	[-]	1,0					
Stahlversagen mit Hebelarm¹⁾											
Stahl, verzinkt	Charakteristischer Biege­widerstand	Fkl. 5.8	$M^0_{Rk,s}$	[Nm]	8	19	37	66	167	325	
	Charakteristischer Biege­widerstand	Fkl. 8.8	$M^0_{Rk,s}$	[Nm]	12	30	60	105	267	519	
	Teilsicherheitsbeiwert		$\gamma_{Ms,V}$	[-]	1,25						
Nicht-rostender Stahl	Charakteristischer Biege­widerstand A4/HCR	Fkl. 70	$M^0_{Rk,s}$	[Nm]	11	26	53	92	234	643 ²⁾	
	Teilsicherheitsbeiwert		$\gamma_{Ms,V}$	[-]	1,56					2,38	
Betonausbruch auf der lastabgewandten Seite											
Pry-out Faktor				k_8	[-]	2,0					
Betonkantenbruch											
Effektive Ankerlänge			l_f	[mm]	min ($h_{ef}; 12 d_{nom}$)						min ($h_{ef}; 300mm$)
Außendurchmesser der Ankerstange			d_{nom}	[mm]	10	12	16	20	24	30	
Montagebeiwert				γ_{inst}	[-]	1,0					

¹⁾ Befestigungsschrauben oder Gewindestangen (inkl. Scheibe und Mutter) müssen mindestens der gewählten Festigkeitsklasse der Innengewindeankerstangen entsprechen (Ausnahme: VMU-IG M20). Die charakteristischen Tragfähigkeiten für Stahlversagen gelten für die Innengewindeankerstange und die zugehörigen Befestigungsmittel.

²⁾ Für VMU-IG M20: Ankerstangen mit Innengewinde: Festigkeitsklasse 50;
Befestigungsschrauben oder Gewindestangen (inkl. Scheibe und Mutter): Festigkeitsklasse 70

Injektionssystem VMH für Beton

Leistungen
Charakteristische Werte unter **Querbeanspruchung** für **Innengewindeankerstangen**

Anhang C7

Tabelle C9: Charakteristische Werte der Zugtragfähigkeit für Betonstahl unter statischer oder quasi-statischer Belastung

Betonstahl				Ø 8	Ø 10	Ø 12	Ø 14	Ø 16	Ø 20	Ø 24	Ø 25	Ø 28	Ø 32
Stahlversagen													
Charakteristischer Widerstand	$N_{Rk,s}$	[kN]	$A_s \cdot f_{uk}^{1)}$										
Stahlspannungsquerschnitt	A_s	[mm ²]	50	79	113	154	201	314	452	491	616	804	
Teilsicherheitsbeiwert	$\gamma_{Ms,N}$	[-]	1,4 ²⁾										
Kombiniertes Versagen durch Herausziehen und Betonausbruch													
Charakteristische Verbundtragfähigkeit im ungerissenen Beton C20/25													
Temperaturbereich	I: 80°C / 50°C	$\tau_{Rk,ucr}$ [N/mm ²]	14	14	14	14	13	13	13	13	13	13	13
	II: 120°C / 72°C	$\tau_{Rk,ucr}$ [N/mm ²]	13	12	12	12	12	11	11	11	11	11	11
	III: 160°C / 100°C	$\tau_{Rk,ucr}$ [N/mm ²]	9,5	9,5	9,5	9,0	9,0	9,0	9,0	9,0	9,0	8,5	8,5
Charakteristische Verbundtragfähigkeit im gerissenen Beton C20/25													
Temperaturbereich	I: 80°C / 50°C	$\tau_{Rk,cr}$ [N/mm ²]	5,5	5,5	6,0	6,5	6,5	6,5	6,5	6,5	7,0	7,0	7,0
	II: 120°C / 72°C	$\tau_{Rk,cr}$ [N/mm ²]	4,5	5,0	5,0	5,5	5,5	5,5	5,5	5,5	6,0	6,0	6,0
	III: 160°C / 100°C	$\tau_{Rk,cr}$ [N/mm ²]	4,0	4,5	4,5	5,0	5,0	5,0	5,0	5,0	5,0	5,0	5,0
Reduktionsfaktor ψ_{sus}^0 im Beton C20/25													
Temperaturbereich	I: 80°C / 50°C	ψ_{sus}^0	[-]	0,79									
	II: 120°C / 72°C	ψ_{sus}^0	[-]	0,75									
	III: 160°C / 100°C	ψ_{sus}^0	[-]	0,66									
Erhöhungsfaktor für Beton	ψ_c	C25/30	1,02										
		C30/37	1,04										
		C35/45	1,07										
		C40/50	1,08										
		C45/55	1,09										
		C50/60	1,10										
Betonausbruch													
Faktor k_1	ungerissener Beton	$k_{ucr,N}$	[-]	11,0									
	gerissener Beton	$k_{cr,N}$	[-]	7,7									
Spalten													
Randabstand	$h/h_{ef} \geq 2,0$	$c_{cr,sp}$	[mm]	1,0 h_{ef}									
	$2,0 > h/h_{ef} > 1,3$			$2 \cdot h_{ef} (2,5 - h/h_{ef})$									
	$h/h_{ef} \leq 1,3$			2,4 h_{ef}									
Achsabstand		$s_{cr,sp}$	[mm]	2 $c_{cr,sp}$									
Montagebeiwert													
trockener oder feuchter Beton	Saugbohren	γ_{inst}	[-]	1,2									
	Manuelle Reinigung	γ_{inst}	[-]	1,2					NPA				
	wassergefülltes Bohrloch	Druckluftreinigung	γ_{inst}	[-]	1,0								
γ_{inst}			[-]	1,4									

¹⁾ f_{uk} ist den Spezifikationen des Betonstahls zu entnehmen

²⁾ Sofern andere nationale Regelungen fehlen

Injektionssystem VMH für Beton

Leistungen

Charakteristische Werte der **Zugtragfähigkeit** für **Betonstahl**

Anhang C8

Tabelle C10: Charakteristische Werte der Quertragfähigkeit für Betonstahl
unter statischer oder quasi-statischer Belastung

Betonstahl		Ø 8	Ø 10	Ø 12	Ø 14	Ø 16	Ø 20	Ø 24	Ø 25	Ø 28	Ø 32	
Stahlversagen <u>ohne</u> Hebelarm												
Charakteristischer Widerstand	$V_{RK,s}^0$ [kN]	$0,50 \cdot A_s \cdot f_{uk}^{1)}$										
Stahlspannungsquerschnitt	A_s [mm ²]	50	79	113	154	201	314	452	491	616	804	
Teilsicherheitsbeiwert	$\gamma_{Ms,V}$ [-]	1,5 ²⁾										
Duktilitätsfaktor	k_7 [-]	1,0										
Stahlversagen <u>mit</u> Hebelarm												
Charakteristischer Biege­widerstand	$M_{RK,s}^0$ [Nm]	$1,2 \cdot W_{el} \cdot f_{uk}^{1)}$										
Elastisches Widerstandsmoment	W_{el} [mm ³]	50	98	170	269	402	785	1357	1534	2155	3217	
Teilsicherheitsbeiwert	$\gamma_{Ms,V}$ [-]	1,5 ²⁾										
Betonausbruch auf der lastabgewandten Seite												
Pry-out Faktor	k_8 [-]	2,0										
Betonkantenbruch												
Effektive Ankerlänge	l_f [mm]	min ($h_{ef}; 12 d_{nom}$)							min ($h_{ef}; 300\text{mm}$)			
Außendurchmesser des Betonstahls	d_{nom} [mm]	8	10	12	14	16	20	24	25	28	32	
Montagebeiwert	γ_{inst} [-]	1,0										

¹⁾ ist den Spezifikationen des Betonstahls zu entnehmen

²⁾ Sofern andere nationale Regelungen fehlen

Injektionssystem VMH für Beton

Leistungen
Charakteristische Werte der **Quertragfähigkeit** für **Betonstahl**

Anhang C9

Tabelle C11: Charakteristische Werte der Zugtragfähigkeit für Betonstahl
unter **seismischer Belastung**, Leistungskategorie **C1**

Betonstahl				Ø 8	Ø 10	Ø 12	Ø 14	Ø 16	Ø 20	Ø 24	Ø 25	Ø 28	Ø 32
Stahlversagen													
Charakteristischer Widerstand	$N_{Rk,s,eq,C1}$	[kN]	$A_s \cdot f_{uk}^{1)}$										
Stahlspannungsquerschnitt	A_s	[mm ²]	50	79	113	154	201	314	452	491	616	804	
Teilsicherheitsbeiwert	$\gamma_{Ms,N}$	[-]	1,4 ²⁾										
Kombiniertes Versagen durch Herausziehen und Betonausbruch													
Charakteristische Verbundtragfähigkeit im Beton C20/25													
Temperaturbereich	I: 80°C / 50°C	$\tau_{Rk,eq,C1}$	[N/mm ²]	5,5	5,5	6,0	6,5	6,5	6,5	6,5	7,0	7,0	7,0
	II: 120°C / 72°C	$\tau_{Rk,eq,C1}$	[N/mm ²]	4,5	5,0	5,0	5,5	5,5	5,5	5,5	6,0	6,0	6,0
	III: 160°C / 100°C	$\tau_{Rk,eq,C1}$	[N/mm ²]	4,0	4,5	4,5	5,0	5,0	5,0	5,0	5,0	5,0	5,0
Montagebeiwert													
trockener oder feuchter Beton	Saugbohren	γ_{inst}	[-]	1,2									
	Druckluftreinigung	γ_{inst}	[-]	1,0									
wassergefülltes Bohrloch		γ_{inst}	[-]	1,4									

¹⁾ ist den Spezifikationen des Betonstahls zu entnehmen

²⁾ Sofern andere nationale Regelungen fehlen

Tabelle C12: Charakteristische Werte der Quertragfähigkeit für Betonstahl
unter **seismischer Belastung**, Leistungskategorie **C1**

Betonstahl				Ø 8	Ø 10	Ø 12	Ø 14	Ø 16	Ø 20	Ø 24	Ø 25	Ø 28	Ø 32
Stahlversagen ohne Hebelarm													
Charakteristischer Widerstand	$V_{Rk,s,eq,C1}$	[kN]	$0,35 \cdot A_s \cdot f_{uk}^{1)}$										
Stahlspannungsquerschnitt	A_s	[mm ²]	50	79	113	154	201	314	452	491	616	804	
Teilsicherheitsbeiwert	$\gamma_{Ms,v}$	[-]	1,5 ²⁾										
Duktilitätsfaktor	k_7	[-]	1,0										
Stahlversagen mit Hebelarm													
Charakteristischer Biege­widerstand	$M^0_{Rk,s,eq,C1}$	[Nm]	Leistung nicht bewertet (NPA)										
Montagebeiwert	γ_{inst}	[-]	1,0										

¹⁾ ist den Spezifikationen des Betonstahls zu entnehmen

²⁾ Sofern andere nationale Regelungen fehlen

Injektionssystem VMH für Beton

Leistungen

Charakteristische Werte unter **seismischer Belastung** für **Betonstahl**

Anhang C10

Tabelle C13: Verschiebung unter Zugbeanspruchung (Ankerstange)

Ankerstange			M8	M10	M12	M16	M20	M24	M27	M30
Verschiebungsfaktoren¹⁾ für ungerissener Beton unter statischer und quasi-statischer Belastung										
Temperaturbereich I: 80°C / 50°C	δ_{N0} -Faktor	[mm/(N/mm ²)]	0,031	0,032	0,034	0,037	0,039	0,042	0,044	0,046
	$\delta_{N\infty}$ -Faktor	[mm/(N/mm ²)]	0,040	0,042	0,044	0,047	0,051	0,054	0,057	0,060
Temperaturbereich II: 120°C / 72°C	δ_{N0} -Faktor	[mm/(N/mm ²)]	0,032	0,034	0,035	0,038	0,041	0,044	0,046	0,048
	$\delta_{N\infty}$ -Faktor	[mm/(N/mm ²)]	0,042	0,044	0,045	0,049	0,053	0,056	0,059	0,062
Temperaturbereich III: 160°C / 100°C	δ_{N0} -Faktor	[mm/(N/mm ²)]	0,121	0,126	0,131	0,142	0,153	0,163	0,171	0,179
	$\delta_{N\infty}$ -Faktor	[mm/(N/mm ²)]	0,124	0,129	0,135	0,146	0,157	0,168	0,176	0,184
Verschiebungsfaktoren¹⁾ für gerissener Beton unter statischer und quasi-statischer Belastung										
Temperaturbereich I: 80°C / 50°C	δ_{N0} -Faktor	[mm/(N/mm ²)]	0,081	0,083	0,085	0,090	0,095	0,099	0,103	0,106
	$\delta_{N\infty}$ -Faktor	[mm/(N/mm ²)]	0,104	0,107	0,110	0,116	0,122	0,128	0,133	0,137
Temperaturbereich II: 120°C / 72°C	δ_{N0} -Faktor	[mm/(N/mm ²)]	0,084	0,086	0,088	0,093	0,098	0,103	0,107	0,110
	$\delta_{N\infty}$ -Faktor	[mm/(N/mm ²)]	0,108	0,111	0,114	0,121	0,127	0,133	0,138	0,143
Temperaturbereich III: 160°C / 100°C	δ_{N0} -Faktor	[mm/(N/mm ²)]	0,312	0,321	0,330	0,349	0,367	0,385	0,399	0,412
	$\delta_{N\infty}$ -Faktor	[mm/(N/mm ²)]	0,321	0,330	0,340	0,358	0,377	0,396	0,410	0,424
Gerissener Beton unter seismischer Belastung (C2)										
Alle Temperaturbereiche	$\delta_{N,eq}$ (DLS)	[mm]	NPA	0,24	0,27	0,29	0,27	NPA		
	$\delta_{N,eq}$ (ULS)	[mm]		0,55	0,51	0,50	0,58			

¹⁾ Berechnung der Verschiebung

$$\delta_{N0} = \delta_{N0}\text{-Faktor} \cdot \tau;$$

τ : einwirkende Verbundspannung unter Zugbeanspruchung

$$\delta_{N\infty} = \delta_{N\infty}\text{-Faktor} \cdot \tau;$$

Tabelle C14: Verschiebung unter Querbeanspruchung (Ankerstange)

Ankerstange			M 8	M 10	M 12	M 16	M 20	M 24	M 27	M 30
Verschiebungsfaktoren¹⁾ für Beton unter statischer und quasi-statischer Einwirkung										
Alle Temperaturbereiche	δ_{V0} -Faktor	[mm/(kN)]	0,06	0,06	0,05	0,04	0,04	0,03	0,03	0,03
	$\delta_{V\infty}$ -Faktor	[mm/(kN)]	0,09	0,08	0,08	0,06	0,06	0,05	0,05	0,05
Gerissener Beton unter seismischer Belastung (C2)										
Alle Temperaturbereiche	$\delta_{V,eq}$ (DLS)	[mm]	NPA	3,6	3,0	3,1	3,5	NPA		
	$\delta_{V,eq}$ (ULS)	[mm]		7,0	6,6	7,0	9,3			

¹⁾ Berechnung der Verschiebung

$$\delta_{V0} = \delta_{V0}\text{-Faktor} \cdot V;$$

V: einwirkende Querkraft

$$\delta_{V\infty} = \delta_{V\infty}\text{-Faktor} \cdot V;$$

Injektionssystem VMH für Beton

Leistungen

Verschiebung (Ankerstange)

Anhang C11

Tabelle C15: Verschiebung unter Zugbeanspruchung (Innengewindeankerstange)

Innengewindeankerstange			VMU-IG M 6	VMU-IG M 8	VMU-IG M 10	VMU-IG M 12	VMU-IG M 16	VMU-IG M 20
Verschiebungsfaktoren¹⁾ für ungerissener Beton unter statischer und quasi-statischer Belastung								
Temperaturbereich I: 80°C / 50°C	δ_{N0} -Faktor	[mm/(N/mm ²)]	0,032	0,034	0,037	0,039	0,042	0,046
	$\delta_{N\infty}$ -Faktor	[mm/(N/mm ²)]	0,042	0,044	0,047	0,051	0,054	0,060
Temperaturbereich II: 120°C / 72°C	δ_{N0} -Faktor	[mm/(N/mm ²)]	0,034	0,035	0,038	0,041	0,044	0,048
	$\delta_{N\infty}$ -Faktor	[mm/(N/mm ²)]	0,044	0,045	0,049	0,053	0,056	0,062
Temperaturbereich III: 160°C / 100°C	δ_{N0} -Faktor	[mm/(N/mm ²)]	0,126	0,131	0,142	0,153	0,163	0,179
	$\delta_{N\infty}$ -Faktor	[mm/(N/mm ²)]	0,129	0,135	0,146	0,157	0,168	0,184
Verschiebungsfaktoren¹⁾ für gerissener Beton unter statischer und quasi-statischer Belastung								
Temperaturbereich I: 80°C / 50°C	δ_{N0} -Faktor	[mm/(N/mm ²)]	0,083	0,085	0,090	0,095	0,099	0,106
	$\delta_{N\infty}$ -Faktor	[mm/(N/mm ²)]	0,107	0,110	0,116	0,122	0,128	0,137
Temperaturbereich II: 120°C / 72°C	δ_{N0} -Faktor	[mm/(N/mm ²)]	0,086	0,088	0,093	0,098	0,103	0,110
	$\delta_{N\infty}$ -Faktor	[mm/(N/mm ²)]	0,111	0,114	0,121	0,127	0,133	0,143
Temperaturbereich III: 160°C / 100°C	δ_{N0} -Faktor	[mm/(N/mm ²)]	0,321	0,330	0,349	0,367	0,385	0,412
	$\delta_{N\infty}$ -Faktor	[mm/(N/mm ²)]	0,330	0,340	0,358	0,377	0,396	0,424

¹⁾ Berechnung der Verschiebung

$$\delta_{N0} = \delta_{N0}\text{-Faktor} \cdot \tau;$$

τ : einwirkende Verbundspannung unter Zugbeanspruchung

$$\delta_{N\infty} = \delta_{N\infty}\text{-Faktor} \cdot \tau;$$

Tabelle C16: Verschiebung unter Querbeanspruchung (Innengewindeankerstange)

Innengewindeankerstange			VMU-IG M 6	VMU-IG M 8	VMU-IG M 10	VMU-IG M 12	VMU-IG M 16	VMU-IG M 20
Verschiebungsfaktoren¹⁾ unter statischer, quasi-statischer Belastung								
Alle Temperaturbereiche	δ_{V0} -Faktor	[mm/(kN)]	0,07	0,06	0,06	0,05	0,04	0,04
	$\delta_{V\infty}$ -Faktor	[mm/(kN)]	0,10	0,09	0,08	0,08	0,06	0,06

¹⁾ Berechnung der Verschiebung

$$\delta_{V0} = \delta_{V0}\text{-Faktor} \cdot V;$$

V: einwirkende Querkraft

$$\delta_{V\infty} = \delta_{V\infty}\text{-Faktor} \cdot V;$$

Injektionssystem VMH für Beton

Leistungen

Verschiebungen (Innengewindeankerstange)

Anhang C12

Tabelle C17: Verschiebung unter Zugbeanspruchung (Betonstahl)

Betonstahl			Ø 8	Ø 10	Ø 12	Ø 14	Ø 16	Ø 20	Ø 24	Ø 25	Ø 28	Ø 32
Verschiebungsfaktoren¹⁾ für ungerissener Beton unter statischer und quasi-statischer Belastung												
Temperaturbereich I: 80°C / 50°C	δ _{N0} -Faktor	[mm/(N/mm ²)]	0,031	0,032	0,034	0,035	0,037	0,039	0,042	0,043	0,045	0,048
	δ _{N∞} -Faktor	[mm/(N/mm ²)]	0,040	0,042	0,044	0,045	0,047	0,051	0,054	0,055	0,058	0,063
Temperaturbereich II: 120°C / 72°C	δ _{N0} -Faktor	[mm/(N/mm ²)]	0,032	0,034	0,035	0,036	0,038	0,041	0,044	0,045	0,047	0,050
	δ _{N∞} -Faktor	[mm/(N/mm ²)]	0,042	0,044	0,045	0,047	0,049	0,053	0,056	0,057	0,060	0,065
Temperaturbereich III: 160°C / 100°C	δ _{N0} -Faktor	[mm/(N/mm ²)]	0,121	0,126	0,131	0,137	0,142	0,153	0,163	0,164	0,172	0,186
	δ _{N∞} -Faktor	[mm/(N/mm ²)]	0,124	0,129	0,135	0,141	0,146	0,157	0,168	0,169	0,177	0,192
Verschiebungsfaktoren¹⁾ für gerissener Beton unter statischer und quasi-statischer Belastung												
Temperaturbereich I: 80°C / 50°C	δ _{N0} -Faktor	[mm/(N/mm ²)]	0,081	0,083	0,085	0,087	0,090	0,095	0,099	0,099	0,103	0,108
	δ _{N∞} -Faktor	[mm/(N/mm ²)]	0,104	0,107	0,110	0,113	0,116	0,122	0,128	0,128	0,133	0,141
Temperaturbereich II: 120°C / 72°C	δ _{N0} -Faktor	[mm/(N/mm ²)]	0,084	0,086	0,088	0,090	0,093	0,098	0,103	0,103	0,107	0,113
	δ _{N∞} -Faktor	[mm/(N/mm ²)]	0,108	0,111	0,114	0,118	0,121	0,127	0,133	0,133	0,138	0,148
Temperaturbereich III: 160°C / 100°C	δ _{N0} -Faktor	[mm/(N/mm ²)]	0,312	0,321	0,330	0,340	0,349	0,367	0,385	0,385	0,399	0,425
	δ _{N∞} -Faktor	[mm/(N/mm ²)]	0,321	0,330	0,340	0,349	0,358	0,377	0,396	0,396	0,410	0,449

¹⁾ Berechnung der Verschiebung

$\delta_{N0} = \delta_{N0}\text{-Faktor} \cdot \tau;$ τ : einwirkende Verbundspannung unter Zugbeanspruchung

$\delta_{N\infty} = \delta_{N\infty}\text{-Faktor} \cdot \tau;$

Tabelle C18: Verschiebung unter Querbeanspruchung (Betonstahl)

Betonstahl			Ø 8	Ø 10	Ø 12	Ø 14	Ø 16	Ø 20	Ø 24	Ø 25	Ø 28	Ø 32
Verschiebungsfaktoren¹⁾ unter statischer und quasi-statischer Belastung												
Alle Temperaturbereiche	δ _{V0} -Faktor	[mm/(kN)]	0,06	0,05	0,05	0,04	0,04	0,04	0,03	0,03	0,03	0,03
	δ _{V∞} -Faktor	[mm/(kN)]	0,09	0,08	0,08	0,06	0,06	0,05	0,05	0,05	0,04	0,04

¹⁾ Berechnung der Verschiebung

$\delta_{V0} = \delta_{V0}\text{-Faktor} \cdot V;$ V : einwirkende Querkraft

$\delta_{V\infty} = \delta_{V\infty}\text{-Faktor} \cdot V;$

Injektionssystem VMH für Beton

Leistungen
Verschiebung (Betonstahl)

Anhang C13